

บทที่ 4

ขั้นตอนการทดลอง ผลการทดลองและวิเคราะห์ผลการทดลอง

ในงานวิจัยนี้ผลการทดลองของการสปีตเทอเริงตามเงื่อนไขที่ใช้จากการใช้หัวแมกนิตรอนและระบบดีซีแมกนิตรอนที่สร้างขึ้นจะถูกแบ่งเป็น 3 ส่วน คือ ลักษณะเฉพาะของกระแสงและความต่างศักย์ของการดิสชาร์จจากหัวแมกนิตรอน การวิเคราะห์ตัวแปรของพลาสม่าโดยการใช้หัวดัดลมมาร์ว์ และการวิเคราะห์คุณสมบัติทางด้านฟิสิกส์ของฟิล์มบางที่ได้โดยวิธีการเลี้ยงเบนของรังสีเอกซ์และวิธีกล้องจุลทรรศน์โดยเล็กtronแบบสองกราด

4.1 การสปีตเทอเริง

ในทุกครั้งที่ทำการสปีตเทอเริงจะดำเนินการตามขั้นตอนดังต่อไปนี้

4.1.1 ขั้นตอนก่อนการสปีตเทอเริง

ทำความสะอาดเป้าด้วยกระดาษทรายเบอร์ลักษณะ เอียด ทำความสะอาดหัวแมกนิตรอนเพื่อป้องกันเศษผงที่ติดอยู่ระหว่างหัวแมกนิตรอนและกราวซีล์ด์ และสาเหตุอื่นที่จะทำให้เกิดการอาร์คขึ้นได้ ติดตั้งเป้าที่หัวแมกนิตรอนและนำหัวแมกนิตรอนไปติดตั้งที่ด้านบนของภาชนะสูญญากาศ ปรับแทนว่างแผ่นรองรับให้ห่างจากเป้าตามระยะห่างที่ต้องการ และตรวจสอบทุกระบบที่ใช้ในการสปีตเทอเริง

เตรียมแผ่นรองรับ โดยแผ่นรองรับที่ใช้ในการสปีตเทอเริง คือ กระจกสไลด์และชิลิกอนเวเฟอร์ นำไปตัดให้มีขนาดตามต้องการ และนำไปทำความสะอาดด้วยขั้นตอนดังต่อไปนี้

- ทำความสะอาดด้วยน้ำยาล้างจาน

- ทำความสะอาดด้วยไตรคลอโรเอททีลีน (TCE) ในเครื่องอุลตร้าโซนิก เป็นเวลา

5 นาที

- ทำความสะอาดด้วยอะซิโตน ในเครื่องอุลตร้าโซนิก เป็นเวลา 5 นาที

- ทำความสะอาดด้วยเอทานอล ในเครื่องอุลตร้าโซนิก เป็นเวลา 5 นาที

- ทำการทดสอบด้วยน้ำปลดประจุในเครื่องอุตสาหกรรม เป็นเวลา 10 นาที
- เป่าให้แห้งด้วยก้าชในตู้เรเจน
- ซั่งมวลของกระจาดสไลด์ แล้วนำไปใส่ไวบันแทนวางแผนแผ่นรองรับ

4.1.2 ขั้นตอนการสปีดเทอริงเคลือบฟิล์มบาง

- เปิดปั๊มกลโตรารี และเปิดวาล์วหยาบสูบอากาศออกจากภาชนะสุญญากาศจนความดันภายในภาชนะสุญญากาศมีค่าประมาณ 3×10^{-2} ทอร์
- เปิดน้ำรabay ความร้อนให้กับปั๊มไอฟุ่งกระจาย จ่ายไฟให้กับขดลวดความร้อนของปั๊มไอฟุ่งกระจายเพื่อทำการต้มน้ำมัน
- เปิดวาล์วหยาบ เปิดวาล์วหลังเพื่อสูบอากาศออกจากภาชนะสุญญากาศผ่านทางปั๊มไอฟุ่งกระจาย
- เมื่อขดลวดความร้อนเริ่มร้อน เติมไนโตรเจนเหลวที่ซองทางเติมภายในตัวดักไอน้ำมัน เพื่อบังกันไม่ให้ไอน้ำมันหลุดตลอดเข้าไปในภาชนะสุญญากาศ
- เปิดปลั๊กวาล์วเพื่อสูบอากาศออกจากภาชนะสุญญากาศด้วยการทำงานร่วมกันของของปั๊มไอฟุ่งกระจายและปั๊มกลโตรารี
- เมื่อความดันภายในภาชนะสุญญากาศมีค่าประมาณ 3×10^{-5} ทอร์ ป้อนก้าช อาร์กอนผ่านทางเครื่องควบคุมการไหลของก้าชโดยมวลด้วยควบคุมให้อัตราการไหลของก้าชคงที่อย่างต่อเนื่องในปริมาณที่ต้องการ และเปิดวาล์วเพื่อปล่อยก้าชอาร์กอนเข้าไปในภาชนะสุญญากาศ ปรับวาล์วเข็มเพื่อควบคุมปริมาณการไหลของก้าชอาร์กอนที่ไหลเข้าสู่ภาชนะสุญญากาศ จนความดันภายในภาชนะสุญญากาศมีค่าอยู่ในช่วง $5 \times 10^{-2} - 1 \times 10^{-3}$ ทอร์
- เปิดแหล่งกำเนิดไฟฟ้ากระแสตรง ปรับความต่างศักย์ที่足以ให้กับระบบโดยมีค่า 350-500 โวลท์ และสังเกตการゴล์วิดิสชาร์จที่เกิดขึ้น
- เมื่อเกิดการゴล์วิดิสชาร์จขึ้น ปรับวาล์วหลังให้อัตราการปั๊มสัมพันธ์กับอัตราการไหลของก้าช เพื่อให้ความดันภายในภาชนะสุญญากาศขณะป้อนก้าชอาร์กอนมีค่าคงที่
- เมื่อควบคุมเงื่อนไขได้ตามต้องการแล้วทำการสปีดเทอริงเป็นเวลาตามต้องการ

- เมื่อทำการสปัตเทอริ่งครบตามเวลาที่ต้องการ ปิดแหล่งกำเนิดไฟฟ้ากระแสตรง ปิดระบบการป้อนก๊าซ หยุดการจ่ายไฟให้กับชุดลดความร้อนที่บีบอุ้งกระจาด ปิดปลั๊ก瓦ล์ว ปล่อยอากาศเข้าสู่ภาชนะสูญญากาศ นำทิวังแผ่นรองรับพร้อมแผ่นรองรับออกจากภาชนะ สูญญากาศผ่านทางช่องทางใส่แผ่นรองรับ ชั้นมวลแผ่นรองรับหลังการเคลือบ และปิดบีบมกลไกดารี หลังจากชุดลดความร้อนเย็นลง

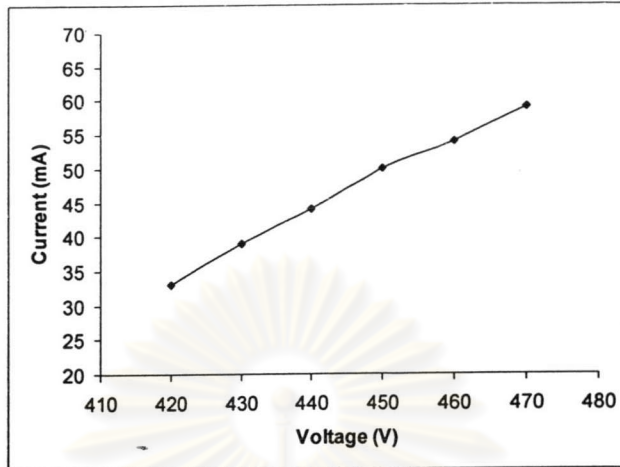
4.1.3 เงื่อนไขที่ใช้ในการสปัตเทอริ่ง

ในเงื่อนไขของการสปัตเทอริ่ง เป้าเงินถูกนำมาใช้ในการสปัตเทอริ่ง ทั้งนี้ เนื่องจากว่าเงินเป็นโลหะที่มีคุณสมบัติในการนำไฟฟ้าและการนำความร้อนดีที่สุด [38] และยัง เป็นโลหะที่มีคุณสมบัติในการสะท้อนแสงที่ดี [38] และจากการทดลองสปัตเทอริ่งที่ระบุห่าง ระหว่างเป้าถึงแผ่นรองรับด้วยระยะห่างต่างๆ กัน พบร่วยว่าที่ระยะห่างระหว่างเป้าถึงแผ่นรองรับ มากกว่า 10 เซนติเมตรพิล์มที่เคลือบบนแผ่นรองรับจะมีความสม่ำเสมอและเมื่อเพิ่มระยะห่าง ระหว่างเป้าถึงแผ่นรองรับมากขึ้นจะทำให้อัตราการเคลือบของพิล์มมีค่าลดลง ดังนั้นในการทดลอง จึงทำการสปัตเทอริ่งที่ระยะห่างระหว่างเป้าถึงแผ่นรองรับ 11 เซนติเมตร นอกจากนี้จากการ ทดลองการสปัตเทอริ่ง พบร่วยว่าความดันของก๊าซอาร์กอนที่สามารถทำให้การสปัตเทอริ่งยังรักษา สภาพอยู่ได้อย่างต่อเนื่องมีค่าต่ำสุดที่ประมาณ 1×10^{-3} ทอร์ ดังนั้นจึงทำการสปัตเทอริ่งในความ ดันของก๊าซอาร์กอนที่ประมาณ $2 - 3 \times 10^{-3}$ ทอร์ โดยการสปัตเทอริ่งได้ใช้ตามเงื่อนไขในตาราง การทดลองที่ 4.1 ดังต่อไปนี้

ตารางที่ 4.1 แสดงเงื่อนไขที่ใช้ในการสปัตเทอริ่ง

ตัวแปรในการทดลอง	เงื่อนไขที่ใช้ในการทดลอง
เป้าที่ใช้	เงิน
แผ่นรองรับ	กระจกสไลเดอร์และซิลิกอนเวเฟอร์
ระยะห่างระหว่างเป้าถึงแผ่นรองรับ	11 เซนติเมตร
ความดันพื้นฐาน	$1 - 3 \times 10^{-3}$ ทอร์
ปริมาณก๊าซอาร์กอน	2 ลูกบาศก์เซนติเมตรต่อนาที
ความดันขณะทำการสปัตเทอริ่ง	$2 - 3 \times 10^{-3}$ ทอร์
เวลาที่ใช้ในการเคลือบ	30 นาที
ปรับค่าความต่างศักย์ของการดิสชาร์จ	420-470 โวลต์

4.2 ผลการศึกษาลักษณะเฉพาะของกระแสและความต่างศักย์



รูปที่ 4.1 แสดงลักษณะเฉพาะของกระแสและความต่างศักย์ของหัวแม่กันิตรอน

จากราฟแสดงค่าความต่างศักย์ที่ใช้ในการดิสชาร์จในช่วง 420-470 โวลต์ กับค่ากระแสของการดิสชาร์จที่เกิดขึ้นในช่วง 30-60 มิลลิแอมป์ที่เกิดขึ้นตามเงื่อนไขการทดลองในตารางที่ 4.1 โดยกระแสของการดิสชาร์จที่ได้เป็นค่าเฉลี่ยของกระแสที่เปลี่ยนแปลงเมื่อเริ่มการสปีตเทอริจจนกระทั่งหยุดการสปีตเทอริจ โดยความต่างศักย์ของการดิสชาร์จที่ใช้ในการทดลองมีค่าเปลี่ยนแปลงไปไม่มากนัก และปริมาณของก้าซาร์กอนซึ่งมีปริมาณน้อยซึ่งเกิดการเปลี่ยนแปลงอยู่ตลอดเวลาในระหว่างการทดลอง จึงเป็นผลให้จำนวนและพังงานของอิเล็กตรอน และไอออนของอาร์กอนมีการเปลี่ยนแปลงไม่มากนัก ดังนั้นค่ากระแสของการดิสชาร์จโดยเฉลี่ยมีการเปลี่ยนแปลงไม่มากนัก และจากความสัมพันธ์ของความต่างศักย์ของการดิสชาร์จกับกระแสของการดิสชาร์จที่ได้จากการทดลอง เมื่อนำไปหาค่าความสามารถในการกักเก็บอิเล็กตรอนตามความสัมพันธ์ในสมการที่ (2.18) จะมีค่าประมาณ 5.82

จากความสัมพันธ์ระหว่างความต่างศักย์ของการดิสชาร์จและกระแสของการดิสชาร์จ เมื่อนำมาคำนวณเป็นกำลังที่ใช้ในการสปีตเทอริจก็จะได้ค่าดังแสดงในตารางที่ 4.2

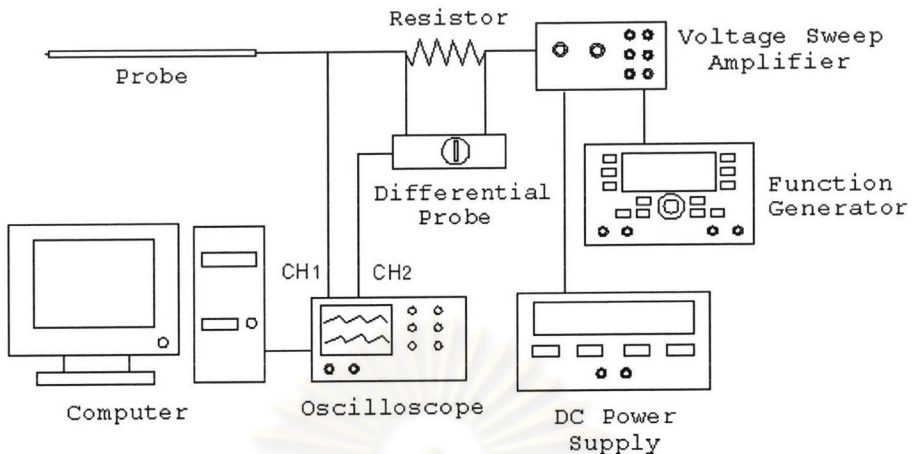
ตารางที่ 4.2 แสดงค่ากำลังไฟฟ้าของการสปีตเทอริ่งที่เกิดจากความสัมพันธ์ระหว่างกระแสของการดิสชาร์จและความต่างศักย์ของการดิสชาร์จภายใต้เงื่อนไขของการสปีตเทอริ่งในตารางที่ 4.1

	กระแสดิสชาร์จ (มิลลิแอมป์)	ความต่างศักย์ดิสชาร์จ (โวลต์)	กำลังการสปีตเทอริ่ง (วัตต์)
Ag1	33	420	13.86
Ag2	39	430	16.77
Ag3	44	440	19.36
Ag4	50	450	22.50
Ag5	54	460	24.84
Ag6	59	470	27.73

จากตารางแสดงให้เห็นว่าค่ากำลังของการสปีตเทอริ่งมีค่าเปลี่ยนแปลงจาก 13.86-27.73 วัตต์ และจะใช้สัญลักษณ์แทนโดย Ag1-Ag6

4.3 การวิเคราะห์ตัวแปรของพลาสม่า

วิธีหัวดเดี่ยวลงม้วนแบบกวดเป็นวิธีที่ใช้ในการวิเคราะห์ตัวแปรของพลาสม่าที่เกิดจากระบบดีซีแมกนิตرونสปีตเทอริ่งที่สร้างขึ้น โดยหัวดที่ใช้ทำมาจากโลหะผสมนิกเกิล-โครเมียมที่มีขนาดเส้นผ่าศูนย์กลาง 0.5 มิลลิเมตร และมีความยาวประมาณ 30 มิลลิเมตร อยู่ภายในห้องแก้วที่มีขนาดเส้นผ่าศูนย์กลางประมาณ 4 มิลลิเมตร ยกเว้นในบริเวณปลายหัวดที่สัมผัสกับพลาสม่า โดยจะใช้หัวดสองตัวไปในภาชนะสูญญากาศ ในทิศทางที่ขานนกับผิวเป้าด้วยระยะห่างจากผิวเป้าประมาณ 5 เซนติเมตร และปลายอีกด้านหนึ่งของหัวดจะถูกนำไปทดสอบด้วยความต่างศักย์ในลักษณะต่อเนื่องด้วยสัญญาณรูปพื้นที่ ลักษณะเฉพาะของกระแสและความต่างศักย์ที่ได้มีหัวดสัมผัสกับพลาสม่าจะถูกนำมาวิเคราะห์โดยการบันทึกสัญญาณผ่านทางออสซิโลสโคป โดยได้แสดงแผนภาพของระบบหัวดเดี่ยวลงม้วนแบบกวดไว้ดังรูปที่ 4.2

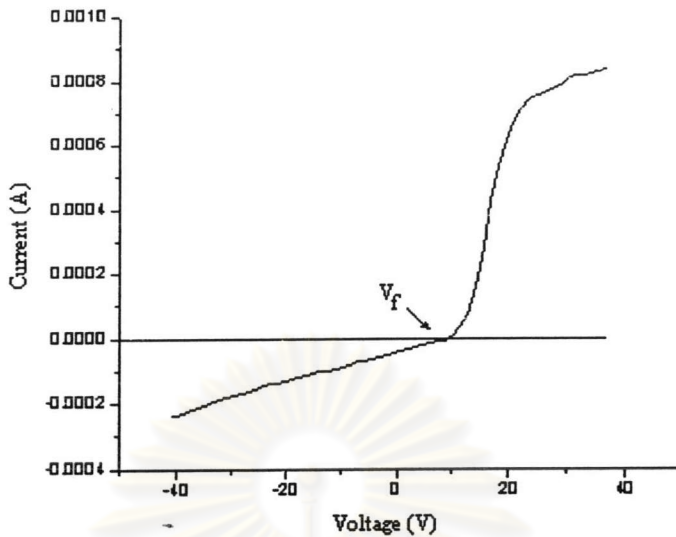


รูปที่ 4.2 แสดงอุปกรณ์ต่างๆที่ใช้ในการวิเคราะห์ตัวแปรของพลาสมาด้วยวิธีหัววัด
เดี่ยวตามม้วร์แบบกว้าง

ในการวิเคราะห์ลักษณะเฉพาะของกระแสและความต่างศักย์ที่ได้จากหัววัด ทำได้โดยการจ่ายความต่างศักย์จากแหล่งกำเนิดไฟฟ้ากระแสตรง MODEL: GPR-30H10D และสัญญาณรูป平版จากแหล่งกำเนิดสัญญาณ (function generator) ยี่ห้อ metrix รุ่น mtx3240 ให้กับวงจรขยายสัญญาณที่ได้พัฒนาสร้างขึ้นมา ส่งผ่านไปยังหัววัด และบันทึกลักษณะสัญญาณที่ได้จากการอสซิโลสโคป ยี่ห้อ Textronix รุ่น TDS220 โดย CH1 จะต่อคร่อมตัวต้านทาน 500Ω เพื่อนำไปหาค่ากระแสจากความต่างศักย์ที่ได้ โดย CH2 เป็นความต่างศักย์โดยตรง แล้วทำการดึงสัญญาณไปยังคอมพิวเตอร์โดยโปรแกรม wave star เมื่อได้ข้อมูลที่เป็นตัวเลขของสัญญาณออกมาก็จะใช้โปรแกรม origin และ excel ในการวิเคราะห์หาค่าตัวแปรของพลาสมาที่ได้จากระบบดิจิเมกนิตรอนสปีตเทอริวิ่ง

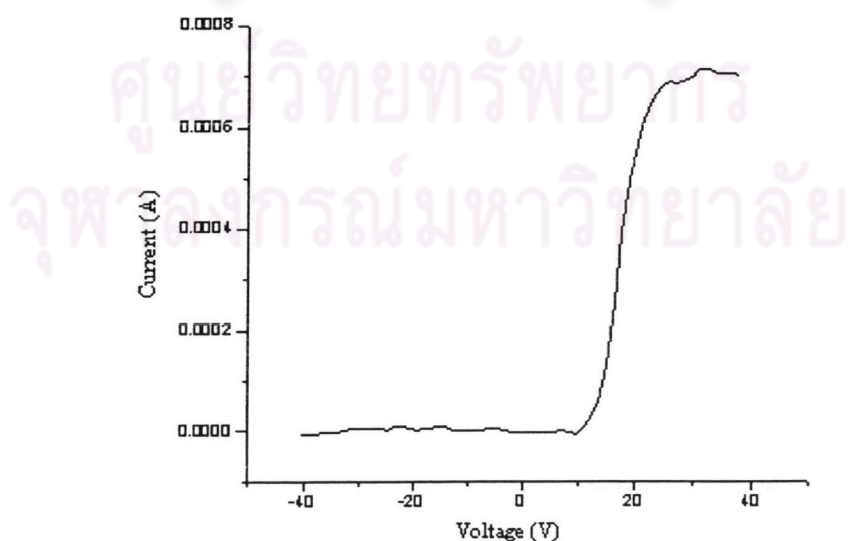
4.3.1 ตัวอย่างการวิเคราะห์ตัวแปรของพลาสมา

แสดงตัวอย่างการวิเคราะห์หาค่าตัวแปรของพลาสมากลางสัญญาณที่ได้จากหัววัดเดี่ยวตามม้วร์แบบกว้าง ตามเงื่อนไขของการสปีตเทอริวิ่งข้างต้น ที่ความต่างศักย์ของการดิสชาร์จ 420 โวลต์ และกระแสของการดิสชาร์จ 34 มิลลิแอมป์ โดยความต่างศักย์ที่จ่ายให้กับหัววัด 280 โวลต์ ลักษณะสัญญาณรูป平版 ตำแหน่งของหัววัดขนาดกับสนามแม่เหล็กที่หน้าผิวเป้าอยู่ระหว่างหัวแมกนิตรอนกับแท่นรองรับ ห่างจากผิวเป้าประมาณ 5 เซนติเมตร



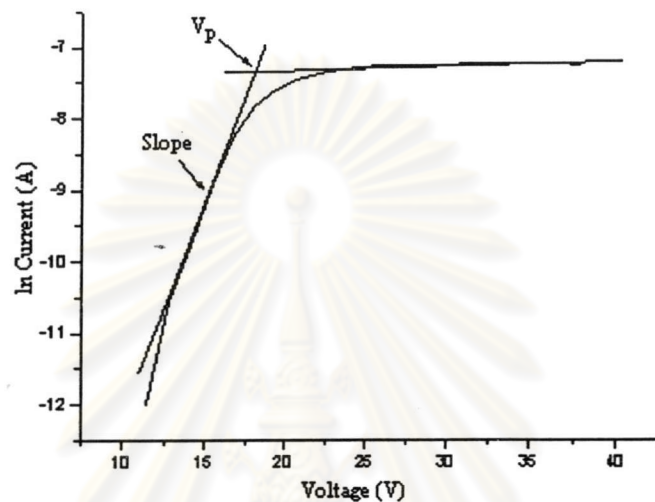
รูปที่ 4.3 แสดงลักษณะสัญญาณที่ได้จากหัววัดเดี่ยวทางมัวร์แบบกว้าง

จากสัญญาณที่ได้เป็นค่าที่ได้จากการแสโดยรวมระหว่างกระแสอิเล็กตรอนและกระแสไอออน โดยบริเวณกระแสอิเล็กตรอนอิ่มตัวจะอยู่ในบริเวณที่ศักย์มีค่าเป็นบวกที่มากกว่า 20 โวลต์ และบริเวณกระแสไอออนอิ่มตัวก็คือบริเวณที่ศักย์มีค่าเป็นลบ โดยกระแสไอออนจะเพิ่มขึ้นในลักษณะเชิงเส้นตามศักย์ที่เป็นลบเพิ่มขึ้น และสามารถหากระแสอิเล็กตรอนได้โดยการตัดกระแสไอออนในบริเวณที่ศักย์เป็นลบออกไป โดยการหาสมการเส้นตรงแทนค่ากระแสไอออนแล้วลบออกจากกระแสรวม และจากสัญญาณที่ได้จะได้ค่าความต่างศักย์โดยมีค่า 7.11 โวลต์ ซึ่งเป็นค่าที่กระแสรวมระหว่างกระแสอิเล็กตรอนและกระแสไอออนที่หัววัดมีค่าเป็นศูนย์



รูปที่ 4.4 แสดงลักษณะกระแสเมื่อตัดกระแสไอออนออกไปและความต่างศักย์

จากกราฟแสดงความสัมพันธ์ของความต่างศักย์กับกระแสเมื่อตัดกระแสออกไป โดยจะสามารถวิเคราะห์หาค่าอุณหภูมิของอิเล็กตรอนได้โดยใช้ล็อกการีทึมให้กับกระแสและหาความชันในช่วงทวนสิชันของค่าล็อกการีทึมของกระแสกับความต่างศักย์ ซึ่งก็คือส่วนกลับของอุณหภูมิอิเล็กตรอน ดังความสัมพันธ์ในสมการที่ (2.22)



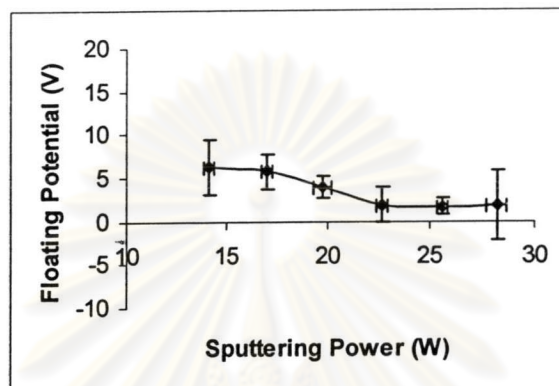
รูปที่ 4.5 แสดงล็อกการีทึมของกระแสและความต่างศักย์

เมื่อหาความชันในช่วงทวนสิชันของล็อกการีทึมของกระแสแล้วกับความต่างศักย์จะหาค่าอุณหภูมิของอิเล็กตรอนได้จากส่วนกลับของความชันดังความสัมพันธ์ในสมการที่ (2.22) ซึ่งจากตัวอย่างนี้มีค่า 2.24 อิเล็กตรอนโวลต์ และจะมีค่า 25,984 เคลวิน ซึ่งเป็นพารามิเตอร์ที่อิบายพลังงานของอิเล็กตรอนในพลาสม่า และค่าศักย์พลาสม่าที่ได้มีค่า 18.08 โวลต์ ซึ่งเป็นค่าที่ต่ำแน่นของศักย์ของหัววัดมีค่าเท่ากับศักย์ของพลาสม่า โดยกระแสที่เกิดขึ้นจะเป็นกระแสของอิเล็กตรอนเป็นส่วนใหญ่ เพราะอิเล็กตรอนมีความคล่องตัวในการเคลื่อนที่สูงกว่าไอออนของอาชีวะก่อน โดยศักย์ของพลาสม่าเป็นพารามิเตอร์ที่ใช้ในการพิจารณาพลังงานของไอออนที่ตกกระทบซึ่งมีความสำคัญในการพิจารณาคุณสมบัติของพิล์มที่เคลือบ และเมื่อทราบค่าศักย์ของพลาสม่าและศักย์โดยสามารถคำนวณหาค่าอุณหภูมิของอิเล็กตรอนได้อีกครึ่งจากความสัมพันธ์ในสมการที่ (2.26) โดยค่าอุณหภูมิที่ได้มีค่า 2.04 อิเล็กตรอนโวลต์ และจะมีค่า 23,664 เคลวิน

และสามารถหาค่าความหนาแน่นของพลาสมากจากค่าอุณหภูมิของอิเล็กตรอน และค่ากระแสไอออนที่ความต่างศักย์เป็นลบมากๆ โดยใช้ที่ -40 โวลต์ ซึ่งมีค่ากระแส 2.4×10^{-4} แอมป์ และพื้นที่ของหัววัดที่สัมผัสกับพลาสมามีค่า 4.28×10^{-6} ตารางเมตร จากความสัมพันธ์ในสมการที่ (2.27) จะได้ความหนาแน่นจากตัวอย่างมีค่า 2.35×10^{17} อนุภาคต่อลูกบาศก์เมตร เมื่อ

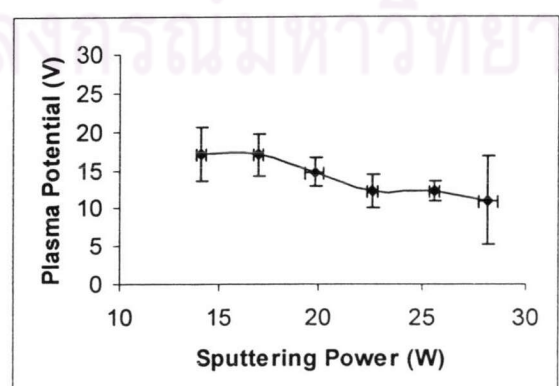
ใช้ค่าอุณหภูมิของอิเล็กตรอนจากวิธีแรก และ 2.61×10^{17} อนุภาคต่อลูกบาศก์เมตร เมื่อใช้ค่า อุณหภูมิของอิเล็กตรอนจากวิธีที่สอง และจากค่าอุณหภูมิของอิเล็กตรอนและความหนาแน่นของ พลาสม่าที่ได้ สามารถคำนวณค่าความหนาของบริเวณมืดได้ ดังแสดงในภาคผนวก (ช)

4.3.2 ผลการวิเคราะห์ตัวแปรของพลาสม่า



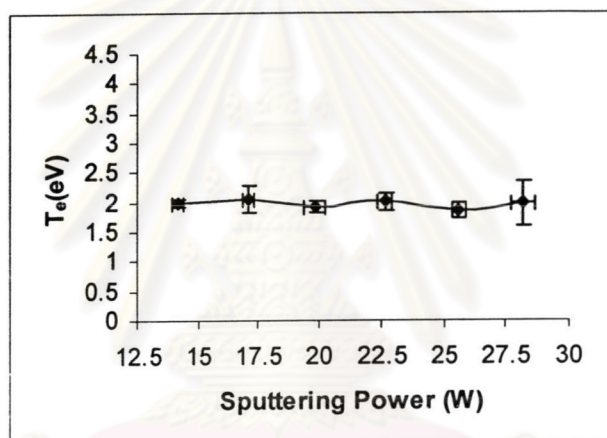
รูปที่ 4.6 แสดงความสัมพันธ์ระหว่างกำลังไฟฟ้ากับศักย์loy

จากรูปที่ 4.6 เป็นการแสดงความสัมพันธ์ของกำลังไฟฟ้าที่ใช้ในการสปัตเทอริงกับศักย์loyที่ได้จากการวิเคราะห์สัญญาณจากหัวดัดลมมาร์โดยค่าศักย์loyจะมีค่าอยู่ในช่วง 1-7 โวลต์ ซึ่งเป็นค่าที่กระแทกที่หัวดมีค่าเป็นศูนย์ และจากการทดลองค่าของศักย์loyจะมีการเปลี่ยนแปลงไม่มากนัก ซึ่งน่าจะเป็น เพราะในระหว่างการทดลองมีพารามิเตอร์หลายตัวที่ไม่สามารถควบคุมให้คงที่ได้ตลอดการทดลอง อาทิ เช่น ความดันของก๊าซอาร์กอน กระแสของการดิสcharج รวมไปถึงการเก็บสัญญาณที่ได้จากการทดลอง ซึ่งมีผลทำให้เกิดการเปลี่ยนแปลงของปริมาณกระแสอิเล็กตรอนและกระแสไอออนที่ได้จากหัวดม ภายใต้การเปลี่ยนแปลงของ กำลังไฟฟ้าจากการทดลอง



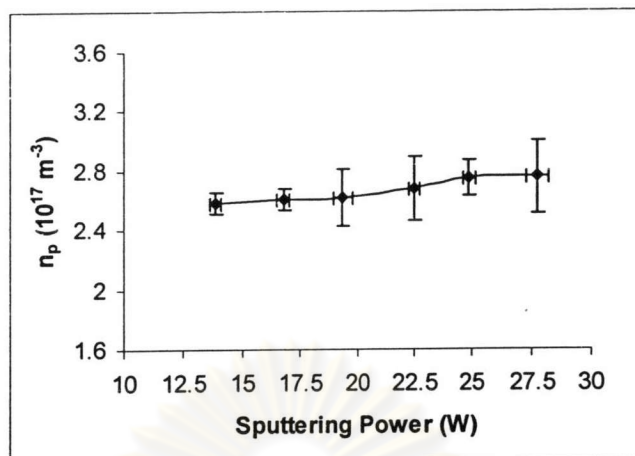
รูปที่ 4.7 แสดงความสัมพันธ์ระหว่างกำลังไฟฟ้ากับศักย์ของพลาสม่า

จากรูปที่ 4.7 แสดงความสัมพันธ์ระหว่างกำลังไฟฟ้าที่ใช้ในการสปัตเทอเริงในช่วง 13-29 วัตต์ กับค่าศักย์ของพลาสม่าที่ได้จากการวิเคราะห์สัญญาณจากหัววัดลงมั่วๆ โดยค่าศักย์ของพลาสม่าจะมีค่าอยู่ในช่วง 11-18 โวลต์ ซึ่งเป็นค่าที่ศักย์ของหัววัดมีค่าเท่ากับศักย์ของพลาสมาของระบบดีซีแมกนิตรอนสปัตเทอเริง และค่าของศักย์พลาสมามีการเปลี่ยนแปลงไม่มากนัก ซึ่งน่าจะเป็นเพราะพารามิเตอร์ในการทดลองที่มีการเปลี่ยนแปลงในขณะทำการทดลอง โดยค่าศักย์ของพลาสม่าที่ได้นั้น หัววัดลงมั่วๆ อยู่ในตำแหน่งที่ห่างจากแผ่นรองรับประมาณ 6 เซนติเมตร จึงไม่อาจสรุปได้อย่างแน่ชัดถึงการเปลี่ยนแปลงของกระแสไอตอนในการพิจารณาคุณสมบัติของพิล์มที่เคลือบ และได้ใช้ค่าศักย์ของพลาสม่าและศักย์โดยคำนวนหาค่าของอุณหภูมิของอิเล็กตรอนจากความสัมพันธ์ในสมการที่ (2.6) ซึ่งแสดงผลที่ได้ในรูปที่ 4.8



รูปที่ 4.8 แสดงความสัมพันธ์ระหว่างกำลังไฟฟ้ากับอุณหภูมิของอิเล็กตรอน

จากรูปที่ 4.8 แสดงความสัมพันธ์ระหว่างกำลังไฟฟ้าที่ใช้ในการสปัตเทอเริงในช่วง 13-29 วัตต์ กับค่าอุณหภูมิของอิเล็กตรอนที่ได้จากการวิเคราะห์สัญญาณจากหัววัดเดียวลงมั่วๆ แบบกวด โดยเป็นการหาค่าจากความสัมพันธ์ในสมการที่ (2.26) โดยค่าของอุณหภูมิอิเล็กตรอนจะมีค่าอยู่ในช่วง 1.8-2.1 อิเล็กตรอนโวลต์ ซึ่งจะมีค่า 20,880-24,360 เคลวิน โดยค่าอุณหภูมิของอิเล็กตรอนมีแนวโน้มที่จะคงที่ ซึ่งเป็น เพราะพลังงานโดยเฉลี่ยของอิเล็กตรอนมีการเปลี่ยนแปลงไม่มากนักจากกำลังไฟฟ้าที่เปลี่ยนแปลง และผลจากการเปลี่ยนแปลงที่เกิดขึ้นของพารามิเตอร์ตัวอื่นในระหว่างการทดลองและได้ใช้ค่าอุณหภูมิของอิเล็กตรอนที่ได้คำนวนหาค่าความหนาแน่นของพลาสมากับความสัมพันธ์ในสมการ (2.27) ซึ่งแสดงผลที่ได้ในรูปที่ 4.9

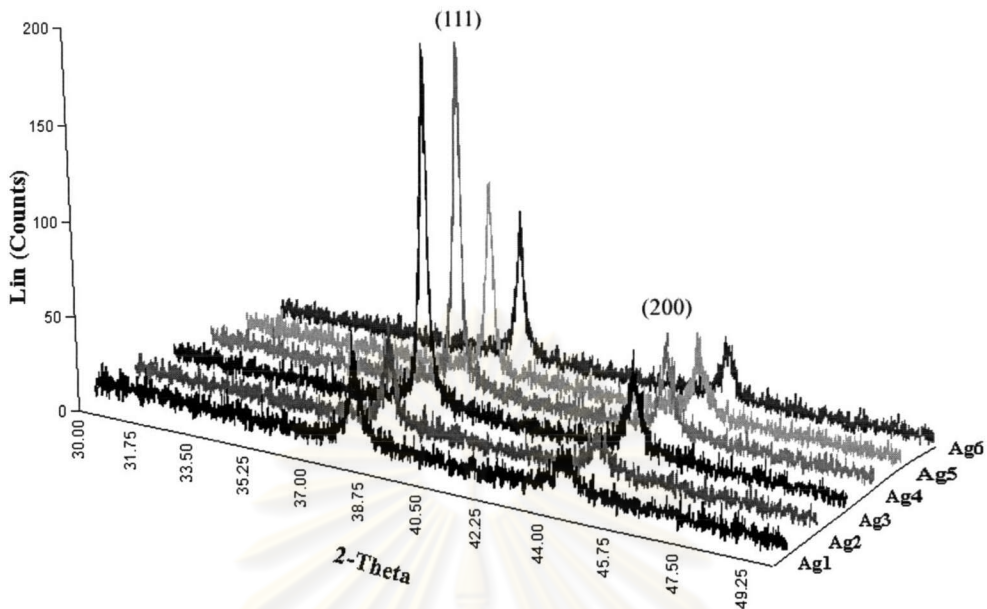


รูปที่ 4.9 แสดงความสัมพันธ์ระหว่างกำลังไฟฟ้ากับความหนาแน่นของพลาสม่า

จากรูปที่ 4.9 แสดงความสัมพันธ์ระหว่างกำลังไฟฟ้าที่ใช้ในการสปัตเทอริงในช่วง 13-29 วัตต์ กับค่าความหนาแน่นของพลาสม่าที่ได้จากหัวดเดียวลงม้วนแบบกวน โดยการหาค่าจากความสัมพันธ์ในสมการที่ (2.27) โดยใช้ค่ากระแสไอนีออนอิ่มตัวที่ความต่างศักย์ -40 โวลต์ และพื้นที่ของหัวดที่ใช้มีค่า 4.28×10^{-6} ตารางเมตร ค่าความหนาแน่นของพลาสม่าจะมีค่าอยู่ในช่วง $2.5-2.8 \times 10^{17}$ อนุภาคต่อลูกบาศก์เมตร โดยจะมีแนวโน้มเพิ่มขึ้นเล็กน้อยจากกำลังไฟฟ้าที่เปลี่ยนแปลงและพารามิเตอร์อื่นๆ ที่เกิดการเปลี่ยนแปลงในระหว่างทำการทดลอง ซึ่งเป็นผลให้การแตกตัวเป็นไอของอะตอมมีการเปลี่ยนแปลงไม่มากนักจากการเปลี่ยนแปลงที่เกิดขึ้นในการทดลอง

4.4 ผลการศึกษาการเลี้ยวเบนของรังสีเอกซ์

เนื่องจากเราต้องการศึกษาลักษณะโครงสร้างผลึกของฟิล์มบางเงิน ดังนั้นจึงได้นำเอาฟิล์มบางเงินที่เตรียมได้ตามเงื่อนไขไปศึกษาการเลี้ยวเบนของรังสีเอกซ์ เพื่อศึกษาลักษณะและตำแหน่งของพีคที่ปรากฏและนำไปเปรียบเทียบกับไฟล์มาตรฐานเพื่อพิจารณาลักษณะโครงสร้างผลึกของฟิล์มบางเงิน จากรูปที่ 4.10 ซึ่งแสดงรูปแบบการเลี้ยวเบนของรังสีเอกซ์จากเครื่องเอกซ์เรย์ดิฟเฟรากโนมิเตอร์ยี่ห้อ Bruker รุ่น D8 Advance ซึ่งรังสีเอกซ์มีความยาวคลื่น 1.5406 อังสตรอม ที่มุม 2θ ตั้งแต่ $30^\circ - 50^\circ$ ของฟิล์มบางเงินที่เคลือบลงบนกระดาษไลด์โดยวิธีดีซี เมกานิตรอนสปัตเทอริงตามเงื่อนไขข้างต้นที่กำลังไฟฟ้าต่างกันตั้งแต่ 13.86-27.73 วัตต์ (Ag1-Ag6)



รูปที่ 4.10 แสดงรูปแบบการเลี้ยงเบนของรังสีเอ็กซ์ของฟิล์มบางเงินที่กำลังไฟฟ้าต่างกันตั้งแต่ 13.86-27.73 วัตต์ (Ag1-Ag6)

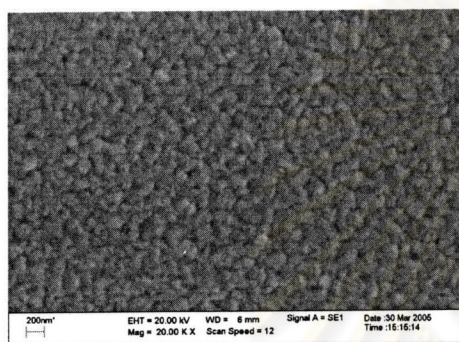
ปรากฏว่าฟิล์มบางเงินที่เคลือบบนกระดาษไอล์มีความเป็นผลึกที่ดีสังเกตได้จากลักษณะของพีคที่มีความคมชัด โดยฟิล์มบางของเงินมีลักษณะเป็นผลึกพหุพันธ์ ประกอบด้วยผลึกที่มีหลายเก伦ที่มีเนื้อสาร (crystallographic texture) [39] โดยโครงสร้างผลึกที่สังเกตได้จะปรากฏแนว (111) ของตำแหน่งพีคที่มุม 2θ ประมาณ 38.10° [39] ซึ่งเป็นตำแหน่งที่มีความเข้มสูงสุด โดยโครงสร้างของผลึกจะมีการจัดเรียงตัวไปในทิศทางนี้มากที่สุด และจะปรากฏแนว (200) ของตำแหน่งพีคที่มุม 42.28° [39] ซึ่งตำแหน่งของพีคที่ปรากฏแสดงถึงผลลัพธ์ของการวิจัยของจังที่ศึกษาพารามิเตอร์ต่างๆ ในการเคลือบฟิล์มบางของเงินโดยวิธีดีซีแมกนิตรอนสปีตเทอริง อาทิ ความดัน อุณหภูมิของแผ่นรองรับ และกำลังของการสปีตเทอริงที่มีผลต่อการจัดเรียงตัวของฟิล์มบางเงิน [39] และเมื่อเปรียบเทียบตำแหน่งพีคกับไฟล์มาตรฐานดังแสดงไว้ในภาคผนวก (ก) จะพบว่าฟิล์มบางที่เคลือบคือฟิล์มบางของเงินที่มีลักษณะโครงสร้างของผลึกเป็นแบบเฟสเซ็นเตอร์คิวบิก [39] ดังแสดงในภาคผนวก (ก)

4.5 ผลการศึกษาโครงสร้างผลึกโดยการใช้กล้องจุลทรรศน์อิเล็กตรอนแบบส่องกราด

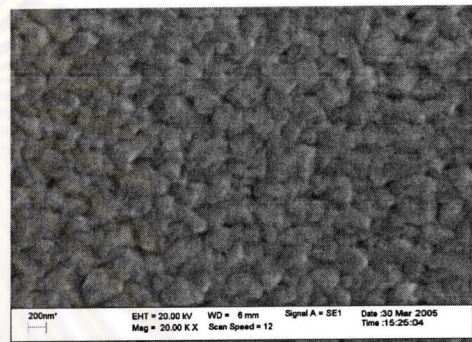
ได้ทำการถ่ายภาพพื้นผิวและภาคตัดขวางของฟิล์มบางเงินที่เคลือบบนแผ่นซิลิโคนเรฟอร์จากกล้องจุลทรรศน์อิเล็กตรอนแบบส่องกราด ยี่ห้อ JEOL รุ่น JSM-6400 ซึ่งแสดงผลดังต่อไปนี้

4.5.1 ภาพถ่ายพื้นผิวของฟิล์มบางเงินโดยการใช้กล้องจุลทรรศน์อิเล็กตรอนแบบส่องกราด

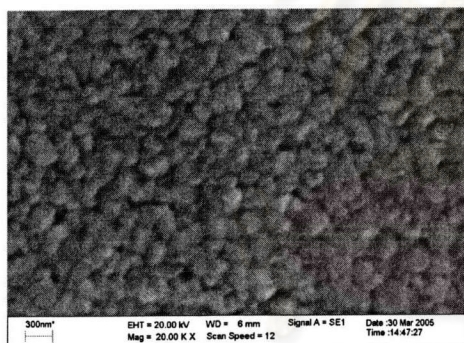
ฟิล์มบางของเงินที่เคลือบลงบนแผ่นซิลิกอนเวเฟอร์โดยหัวดีซีเมกนิตرون สปัตเทอวิงและระบบดีซีเมกนิตرونที่สร้างขึ้นที่กำลังไฟฟ้าของการสปัตเทอวิงต่างกันตั้งแต่ 13.86-27.73 วัตต์ (Ag1-Ag6) ตามเงื่อนไขของการสปัตเทอวิง ได้ถูกตรวจสอบลักษณะพื้นผิวจากกล้องจุลทรรศน์อิเล็กตรอนแบบส่องกราดที่กำลังขยาย 20,000 เท่า ดังแสดงในรูปที่ 4.11



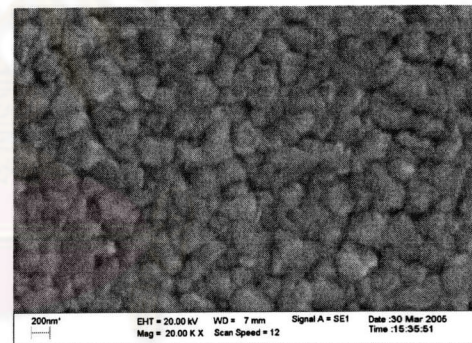
Ag1 (13.86 watt)



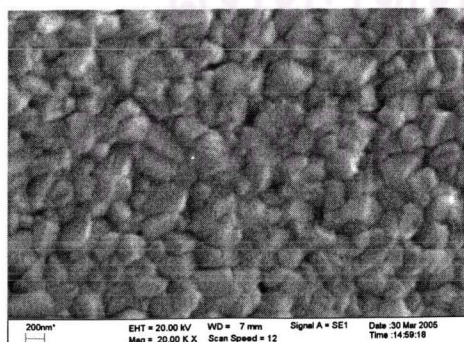
Ag2 (16.77 watt)



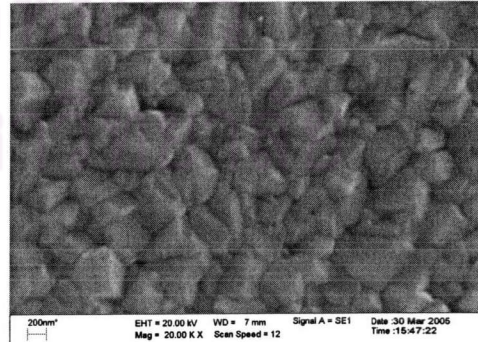
Ag3 (19.36 watt)



Ag4 (22.50 watt)



Ag5 (24.84 watt)



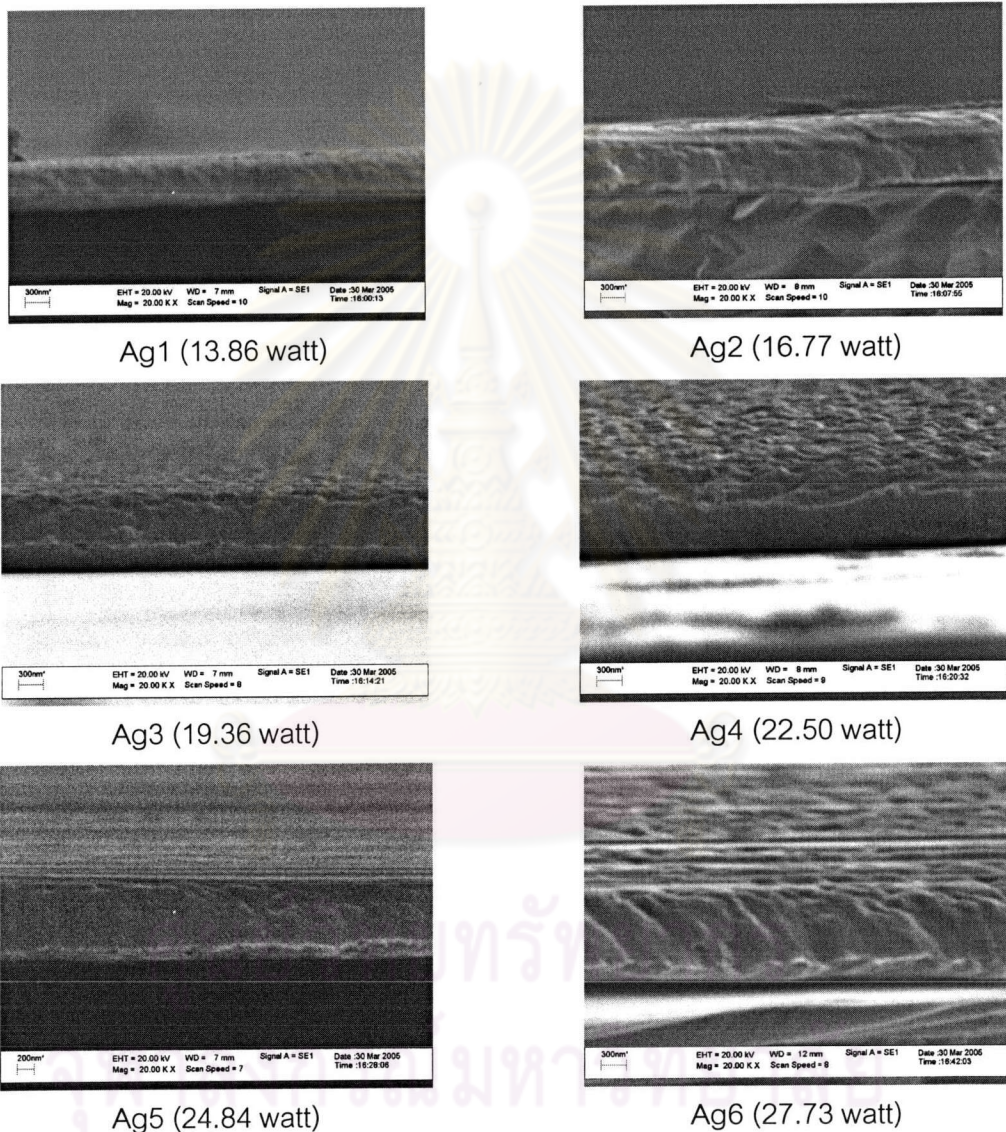
Ag6 (27.73 watt)

รูปที่ 4.11 แสดงภาพถ่ายพื้นผิวของฟิล์มบางเงินจากกล้องจุลทรรศน์อิเล็กตรอนแบบส่องกราด

จากรูปแบบบริเวณโครงสร้าง (structure zone model) ซึ่งแสดงอิทธิพลของอุณหภูมิ แผ่นรองรับและความดันของก๊าซออกซิเจนที่มีต่อลักษณะโครงสร้างของพิล์มบางโลหะโดยการใช้วิธีแมกนิตรอนสปัตเทอเริง โดยพิจารณาจากอัตราส่วนระหว่างอุณหภูมิแผ่นรองรับต่อจุดหลอมเหลวของโลหะที่เคลือบ [18,40-41] สำหรับโลหะเงินมีจุดหลอมเหลวประมาณ 961 องศาเซลเซียส และจากการทดลองอุณหภูมิของแผ่นรองรับไม่น่าจะเกิน 100 องศาเซลเซียส ดังนั้นอัตราส่วนระหว่างอุณหภูมิแผ่นรองรับต่อจุดหลอมเหลวของโลหะที่เคลือบจึงมีค่าไม่น่าเกิน 0.1 และความดันของก๊าซออกซิเจนที่ใช้ในการทดลองประมาณ 3 มิลลิ托ร์ เมื่อวิเคราะห์จากรูปแบบบริเวณโครงสร้างของพิล์มบางที่ได้จะอยู่ในบริเวณที่ 1 จากภาพถ่ายในรูปที่ 4.11 แสดงให้เห็นเกรนที่เกิดด้าน (faceted grains) ที่พื้นผิวของพิล์มมีการจัดเรียงตัวกันอย่างหนาแน่น โดย Ag1 จะประกอบไปด้วยเกรนที่เกิดด้านขนาดเล็กที่มีความสม่ำเสมอมากที่สุดด้วยขนาดเส้นผ่าศูนย์กลางโดยเฉลี่ยประมาณ 127 นาโนเมตร และลักษณะของพื้นผิวจะมีความชุรุขระน้อย Ag2-Ag6 จะประกอบไปด้วยเกรนที่เกิดด้านขนาดใหญ่ขึ้น แต่ความสม่ำเสมอของเกรนที่เป็นเหลี่ยมจะมีค่าลดลงโดยจะประกอบไปด้วยเกรนที่เกิดด้านที่มีเส้นผ่าศูนย์กลางหลายขนาดปะปนกันอยู่ และลักษณะของพื้นผิวจะมีความชุรุขระมากขึ้น โดย Ag6 จะแสดงให้เห็นเกรนที่เกิดด้านขนาดใหญ่และมีลักษณะเป็นเหลี่ยมชัดเจนที่สุดและมีพื้นผิวที่มีความชุรุขระมากที่สุด โดยมีขนาดเส้นผ่าศูนย์กลางของเกรนที่เกิดด้านโดยเฉลี่ยประมาณ 455 นาโนเมตร จากการทดลองได้นำพิล์มบางไปถ่ายภาพจากกล้องจุลทรรศน์อิเล็กตรอนแบบส่องกล้องห้องจาก การเคลือบประมาณ 1 สปดาห์ จึงทำให้เกิดการรวมตัวกันของพิล์มบางเงินกับชัลไฟฟ์ที่มีอยู่ในอากาศเป็นสารประกอบซิลเวอร์ชัลไฟฟ์ (AgS_2) เคลือบอยู่บนพื้นผิวของพิล์มบางเงิน โดยมีอัตราการเคลือบอยู่ที่ 75 นาโนเมตรต่อสปดาห์ จึงทำให้พิล์มบางเงินที่เตรียมได้มีชั้นของซิลเวอร์ชัลไฟฟ์เคลือบอยู่ ด้วยความหนาประมาณ 75 นาโนเมตร จึงไม่สามารถสูญเสียได้อย่างแน่นชัดว่าโครงสร้างพื้นผิวที่ปรากฏเป็นของพิล์มบางเงิน

4.5.2 ภาพถ่ายภาคตัดขวางของฟิล์มบางเงินโดยการใช้กล้องจุลทรรศน์อิเล็กตรอนแบบส่องกราด

นอกเหนือจากการศึกษาลักษณะพื้นผิวของฟิล์มบางเงินแล้ว ได้ทำการถ่ายภาพภาคตัดขวางของฟิล์มบางเงิน ดังแสดงในรูป 4.12

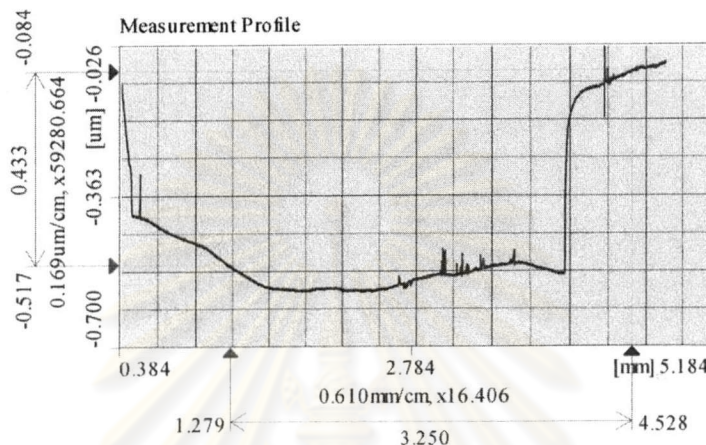


รูปที่ 4.12 แสดงภาพถ่ายภาคตัดขวางของฟิล์มบางเงินจากกล้องจุลทรรศน์อิเล็กตรอนแบบส่องกราด

จากรูปแสดงภาพถ่ายภาคตัดขวางที่กำลังขยาย 20,000 เท่าของฟิล์มบางเงินที่เคลือบลงบนชิลิกอนเวเฟอร์ตามเงื่อนไขข้างต้นที่กำลังไฟฟ้าต่างกันตั้งแต่ 13.86-27.73 วัตต์ (Ag1-Ag6) ซึ่งจากรูปจะสามารถประมาณความหนาของฟิล์มได้ในช่วง 400-500 นาโนเมตร

4.6 การหาความหนาของฟิล์มบาง

สำหรับฟิล์มบางเงินที่เตรียมได้นั้น ได้ทำการหาความหนาของฟิล์มนี้โดยบันดาล รองรับโดยการใช้เครื่อง Surface Profiler ดังแสดงตัวอย่างผลการหาความหนาที่ได้จากการใช้ Surface Profiler เครื่องของฟิล์ม Ag1 ในรูปที่ 4.13



รูปที่ 4.13 แสดงตัวอย่างความหนาของฟิล์มบางเงิน Ag1 โดยการใช้เครื่อง Surface Profiler

จากรูปที่ 4.13 แสดงค่าความหนาของฟิล์มบางเงิน Ag1 โดยการใช้เครื่อง Surface Profiler ยี่ห้อ Misutoyo จากภาพในตัวอย่างความหนาของฟิล์มนี้ค่าประมาณ 433 นาโนเมตร และความหนาของฟิล์ม Ag1-Ag6 ที่ได้จากการใช้เครื่อง Surface Profiler มีค่าอยู่ในช่วง 405-480 นาโนเมตร ซึ่งมีความหนาโดยเฉลี่ยประมาณ 442.5 นาโนเมตร โดยค่าความหนาของฟิล์ม Ag1-Ag6 ที่ได้จากการใช้เครื่อง Surface Profiler มีค่าใกล้เคียงกับความหนาของฟิล์มนี้ ได้จากการถ่ายภาคตัดขวาง และเมื่อนำมาคำนวณหาค่าอัตราการเคลือบโดยหารด้วยเวลาที่ใช้ในการสปัตน์เทอริง จะได้อัตราการเคลือบมีค่าอยู่ในช่วง 0.225-0.267 นาโนเมตรต่อวินาที และมีอัตราการเคลือบโดยเฉลี่ยประมาณ 0.246 นาโนเมตรต่อวินาที ซึ่งเป็นการแสดงให้เห็นว่าปริมาณของอะตอมเงินที่หลุดออกมากจากเป้าแล้วเคลื่อนที่ไปยังแผ่นรองรับเคลือบเป็นฟิล์มบางของเงินมีการเปลี่ยนแปลงไม่มากนักภายใต้เงื่อนไขของการทดลอง ทั้งนี้จะเป็นเพราะการเปลี่ยนแปลงที่ไม่คงที่ของความดันของก๊าซอาร์กอนและกระแสของการดิสchar์จที่เกิดขึ้นในระหว่างการทดลอง ซึ่งจะส่งผลให้ปริมาณการแตกตัวเป็นไอออนของอาร์กอนและพลังงานของไอออนของอาร์กอนมีค่าใกล้เคียงกันจากเงื่อนไขที่ใช้ในการทดลอง เป็นผลให้ค่าyield ของการสปัตน์เทอริงมีการเปลี่ยนแปลงไม่มากนัก และจะทำให้อะตอมของเงินที่ถูกสะท้อนจากการชนกับอะตอมของอาร์กอนตกกระทบແเนื่องรับและเคลือบเป็นฟิล์มบางในอัตราที่ใกล้เคียงกัน